

Летняя школа по теоретической физике ИТФ имени Ландау РАН

ЭФФЕКТ БЛИЗОСТИ В ГЕТЕРОСТРУКТУРАХ СВЕРХПРОВОДНИК/МАГНЕТИК

Студент:

Корнев Артем Владимирович

Научный руководитель:

Бобкова Ирина Вячеславовна

Введение

В данной работе был изучен эффект близости в контактах моноатомных слоёв сверхпроводника и магнетиков с различным типом магнитного упорядочения. Были рассмотрены ферромагнетик, антиферромагнетик и ферримагнетик, два последних — с шахматным порядком намагниченности. В формализме уравнений Боголюбова – де Женна, полученных из гамильтониана микроскопической теории БКШ в приближении сильной связи, найден самосогласованный параметр порядка несколькими численными методами, а так же рассчитаны аномальные функции Грина для синглетных и триплетных корреляций.

Были получены общеизвестные результаты зависимости параметра порядка объемного сверхпроводника от температуры, а также для ферромагнетика — семейство кривых зависимости параметра порядка от величины обменного поля при различных температурах, определена критическая температура.

Для изучения контактов антиферромагнетиков и ферромагнетиков со сверхпроводником были переписаны уравнения Боголюбова — де Женна в двухрешеточной форме. Получены зависимости критической температуры от величины обменного поля для разных типов магнетиков, проведено сравнение и обнаружено два режима в зависимости от величины химического потенциала. Рассчитан параметр порядка на двух подрешетках в зависимости от величины намагниченности одной из подрешеток. Для ферромагнетика был получен неравный на двух подрешетках («гофрированный») параметр порядка. Такое сверхпроводящее состояние не реализуется в случае эквивалентных подрешеток как с ферромагнитным, так и с антиферромагнитным типом магнитного упорядочения. Исследована разность параметра порядка на подрешетках и её поведение в зависимости от соотношения намагниченности на подрешетках. Также получены зависимости аномальных гриновских функций синглетных и триплетных корреляций от намагниченности для разных ферримагнетиков и проведено сравнение с ферро- и антиферромагнетиком.

Теория

В следующих параграфах будет изложено краткое теоретическое введение.

Гамильтониан БКШ. Приближение сильной связи.
Уравнения Боголюбова – де Женна.

Мы стартуем с гамильтониана теории сверхпроводимости Бардина – Купера – Шриффера (БКШ), записанного в приближении сильной связи:

$$\hat{H} = -t \sum_{\langle i,j \rangle, \sigma} \hat{c}_{i\sigma}^\dagger \hat{c}_{j\sigma} + \sum_i (\Delta_i \hat{c}_{i,\uparrow}^\dagger \hat{c}_{i,\downarrow}^\dagger + \Delta_i^* \hat{c}_{i,\uparrow} \hat{c}_{i,\downarrow}) - \mu \sum_{i\sigma} \hat{n}_{i\sigma} + \sum_{i\alpha\beta} \hat{c}_{i\alpha}^\dagger (\mathbf{m}_i \boldsymbol{\sigma})_{\alpha\beta} \hat{c}_{i\beta} \quad (1)$$

Здесь индексы i, j нумеруют узлы кристаллической решетки, а индексы σ, α, β — направление спина, $\langle i, j \rangle$ означает суммирование по ближайшим соседям, t — величина, задающая характерный масштаб кинетической энергии, переносимой «прыжком» электрона между соседними атомами, $\hat{c}_{i\sigma}^\dagger, \hat{c}_{i\sigma}$ — операторы рождения и уничтожения электрона, Δ_i — параметр порядка, μ — химический потенциал, $\hat{n}_{i\sigma} = \hat{c}_{i\sigma}^\dagger \hat{c}_{i\sigma}$ — оператор числа частиц, \mathbf{m}_i — вектор намагниченности (обменного поля), $\boldsymbol{\sigma} = \begin{pmatrix} \sigma_x \\ \sigma_y \\ \sigma_z \end{pmatrix}$ — вектор матриц Паули.

Переходим к операторам рождения и уничтожения боголюбовских квазичастиц $\hat{b}_n^\dagger, \hat{b}_n$ посредством преобразований Боголюбова:

$$\hat{c}_{i\sigma} = \sum_n u_{n\sigma}^i \hat{b}_n + v_{n\sigma}^{i*} \hat{b}_n^\dagger, \quad (2)$$

здесь n — номер электронного состояния, а величины $u_{n\sigma}^i, v_{n\sigma}^i$ физически означают «долю» электрона в состоянии «электрона» и «дырки» на узле i соответственно. Эти величины связаны соотношением нормировки:

$$\sum_i |u_{n,\sigma}^i|^2 + |v_{n,\sigma}^i|^2 = 1. \quad (3)$$

После подстановки преобразований Боголюбова получаем уравнения Боголюбова – де Женна:

$$-\mu u_{n,\sigma}^i - t \sum_{\langle i \rangle} u_{n,\sigma}^j + \sigma \Delta_i v_{n,-\sigma}^i + (\mathbf{m}_i \boldsymbol{\sigma})_{\sigma\alpha} u_{n,\alpha}^i = \varepsilon_n u_{n,\sigma}^i, \quad (4)$$

$$-\mu v_{n,\sigma}^i - t \sum_{\langle i \rangle} v_{n,\sigma}^j + \sigma \Delta_i^* u_{n,-\sigma}^i + (\mathbf{m}_i \boldsymbol{\sigma}^*)_{\sigma\alpha} v_{n,\alpha}^i = -\varepsilon_n v_{n,\sigma}^i, \quad (5)$$

где $\langle i \rangle$ в «прыжковом» слагаемом означает суммирование по ближайшим соседям атома в i -ом узле, ε_n — энергия n -го состояния. Можно показать, что в пределе не слишком больших импульсов «прыжковое» слагаемое переходит в общепринятое $p^2/2m$.

Уравнение самосогласования

Параметр порядка должен удовлетворять уравнению самосогласования:

$$\Delta_i = \lambda \langle \hat{c}_{i\downarrow} \hat{c}_{i\uparrow} \rangle = \lambda \sum_n (u_{n,\downarrow}^i v_{n,\uparrow}^{i*} (1 - f_n) + u_{n,\uparrow}^i v_{n,\downarrow}^{i*} f_n), \quad (6)$$

где λ — энергетическая константа спаривания, $f_n = \langle \hat{b}_n^\dagger \hat{b}_n \rangle = 1/(1 + \exp \varepsilon_n/T)$ — распределение Ферми – Дирака.

Аномальная функция Грина. Синглетные и триплетные корреляции.

Аномальная функция Грина в мацубаровском представлении:

$$F_{ii,\alpha\beta}(\tau) = -\langle T_\tau \hat{c}_{i\alpha}(\tau) \hat{c}_{i\beta}(0) \rangle, \quad (7)$$

где τ — так называемое мнимое время, T_τ — хронологическое упорядочение операторов.

Мацубаровский оператор уничтожения:

$$\hat{c}_{i\sigma}(\tau) = \sum_n u_{n\alpha}^i \hat{b}_n e^{-\varepsilon_n \tau} + v_{n\alpha}^{i*} \hat{b}_n^\dagger e^{\varepsilon_n \tau}. \quad (8)$$

После подстановки получаем $F_{ii,\alpha\beta}(\tau)$ в виде:

$$F_{ii,\alpha\beta}(\tau) = - \sum_n \{ u_{n\alpha}^i v_{n\beta}^{i*} (1 - f_n) e^{-\varepsilon_n \tau} + v_{n\alpha}^{i*} u_{n\beta}^i f_n e^{\varepsilon_n \tau} \}. \quad (9)$$

Удобнее работать с Фурье-компонентами, то есть перейти от мнимого времени к мацубаровским частотам $\omega_m = \pi T(2m + 1)$:

$$F_{ii,\alpha\beta}(\omega_m) = \int_0^{\frac{1}{T}} F_{ii,\alpha\beta}(\tau) e^{i\omega_m \tau} d\tau, \quad (10)$$

Итого получаем:

$$F_{ii,\alpha\beta}(\omega_m) = \sum_n \left\{ \frac{u_{n\alpha}^i v_{n\beta}^{i*}}{i\omega_m - \varepsilon_n} + \frac{v_{n\alpha}^{i*} u_{n\beta}^i}{i\omega_m + \varepsilon_n} \right\}. \quad (11)$$

Интересующая нас аномальная функция Грина ($\tau = 0$) может быть получена суммированием по положительным мацубаровским частотам:

$$F_{ii,\alpha\beta} = \sum_{\omega_m > 0} F_{ii,\alpha\beta}(\omega_m). \quad (12)$$

Матрица, составленная из всевозможных спиновых компонент аномальной функции Грина, может быть представлена через функции синглетных F^s и триплетных \mathbf{F}^t корреляций:

$$F_{\alpha\beta} = \begin{pmatrix} F_{\uparrow\uparrow} & F_{\uparrow\downarrow} \\ F_{\downarrow\uparrow} & F_{\downarrow\downarrow} \end{pmatrix} = (F^s + \mathbf{F}^t \boldsymbol{\sigma}) \cdot i\sigma_y. \quad (13)$$

Модель. Постановка задачи.

Рассмотрим простейшую модель тонкопленочного бислоя сверхпроводник/магнетик.

Пусть имеется два моноатомных плоских слоя сверхпроводника и магнетика (изолятора). Будем считать, что атомы расположены в узлах квадратной кристаллической решётки с периодом a , причем слои наложены друг на друга таким образом, что узлы решеток из разных слоев находятся друг напротив друга. Это позволяет нумеровать место в контакте двух слоев одним лишь индексом узла i , то есть использовать одинаковую нумерацию и для параметра порядка в сверхпроводнике и для вектора обменного поля в магнетике.

В качестве исследуемых бислоёв будем рассматривать объёмный сверхпроводник, а также контакты со сверхпроводником: ферромагнетик с однородной намагниченностью $\mathbf{m}_i = M\mathbf{e}_z$ и магнетика с шахматным порядком намагниченности на подрешётках А и В: антиферромагнетик ($M^B = -M^A$), и ферримагнетики ($M^B = f \cdot M^A$). Где f — степень неэквивалентности подрешёток, для ферримагнетиков, встречающихся в природе, $f < 0$.

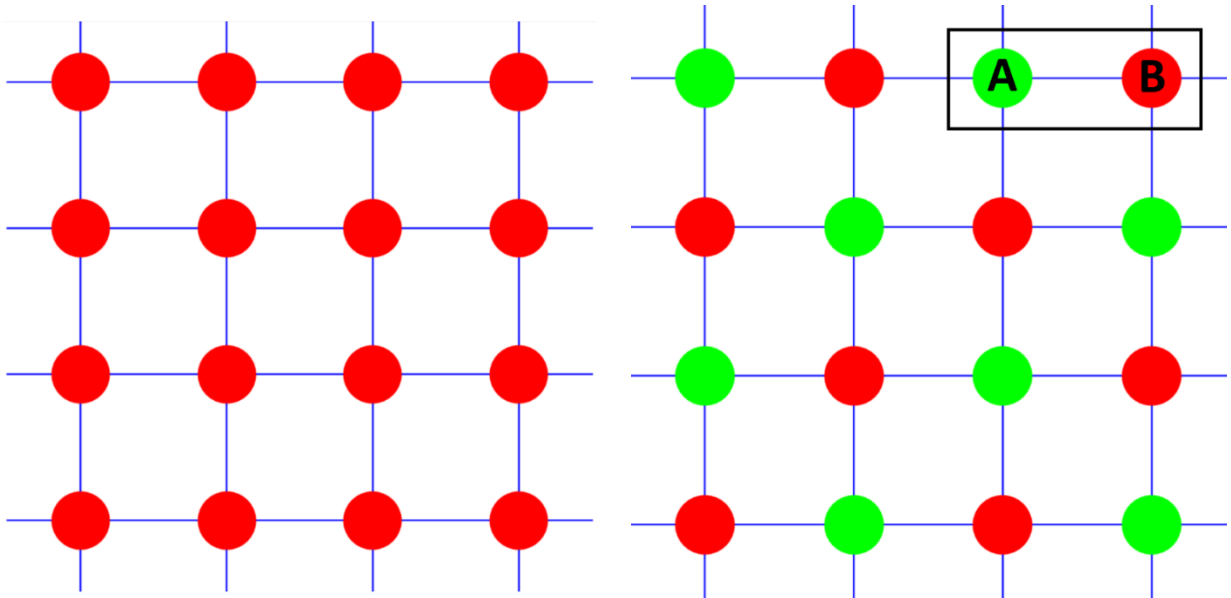


Рис. 1. Двумерная сетка атомов. Линиями соединены ближайшие соседи, между которыми возможны прыжки. На рисунке слева сетка для однородной намагниченности, справа — для шахматного упорядочения.

Преобразование Фурье. Переход к импульсному представлению.

Поскольку задача существенно однородна (в случае антиферромагнетика и ферримагнетика — однородна на каждой из подрешёток), то целесообразно перейти к импульсному представлению. Для этого воспользуемся преобразование Фурье:

$$u_{n,\sigma}^i = \frac{1}{(2\pi)^2} \iint_{BZ_1} d^2\mathbf{p} u_{n\sigma}(\mathbf{p}) e^{-i(\mathbf{p}\cdot\mathbf{r}_i)}, \quad (14)$$

$$u_{n\sigma}(\mathbf{p}) = \sum_i u_{n,\sigma}^i e^{i(\mathbf{p}\cdot\mathbf{r}_i)}, \quad (15)$$

где интегрирование проводится по первой зоне Бриллюэна.

После применения преобразования Фурье получаем из уравнений Боголюбова – де Женна (4), (5):

$$(-\mu - 2t[\cos p_x a + \cos p_y a])u_{n\sigma}(\mathbf{p}) + \sigma\Delta_i v_{n,-\sigma}(\mathbf{p}) + (\mathbf{m}_i\boldsymbol{\sigma})_{\sigma\alpha}u_{n\alpha}(\mathbf{p}) = \varepsilon_n u_{n\sigma}(\mathbf{p}), \quad (16)$$

$$(-\mu - 2t[\cos p_x a + \cos p_y a])v_{n\sigma}(\mathbf{p}) + \sigma\Delta_i^* u_{n,-\sigma}(\mathbf{p}) + (\mathbf{m}_i\boldsymbol{\sigma}^*)_{\sigma\alpha}v_{n\alpha}(\mathbf{p}) = -\varepsilon_n v_{n\sigma}(\mathbf{p}). \quad (17)$$

Эти уравнения представляют собой уравнения на собственные вектора $(u_{n\uparrow} \ u_{n\downarrow} \ v_{n\uparrow} \ v_{n\downarrow})^T$ и собственные числа ε_n .

Матрица этой системы имеет вид:

$$\begin{pmatrix} (\mathbf{m}_i\boldsymbol{\sigma})_{\uparrow\uparrow} - \mu & (\mathbf{m}_i\boldsymbol{\sigma})_{\uparrow\downarrow} & 0 & \Delta \\ -2t[\cos p_x a + \cos p_y a] & (\mathbf{m}_i\boldsymbol{\sigma})_{\downarrow\downarrow} - \mu & -\Delta & 0 \\ (\mathbf{m}_i\boldsymbol{\sigma})_{\downarrow\uparrow} & -2t[\cos p_x a + \cos p_y a] & -\Delta & 0 \\ 0 & -\Delta^* & -(\mathbf{m}_i\boldsymbol{\sigma}^*)_{\uparrow\uparrow} + \mu & -(\mathbf{m}_i\boldsymbol{\sigma}^*)_{\uparrow\downarrow} \\ \Delta^* & 0 & +2t[\cos p_x a + \cos p_y a] & -(\mathbf{m}_i\boldsymbol{\sigma}^*)_{\downarrow\downarrow} + \mu \\ & & -(\mathbf{m}_i\boldsymbol{\sigma}^*)_{\downarrow\uparrow} & +2t[\cos p_x a + \cos p_y a] \end{pmatrix} \quad (18)$$

Таким образом, для решения уравнений Боголюбова – де Женна требуется выбрать некоторый «затравочный» параметр порядка, затем для каждого значения импульса из первой зоны Бриллюэна найти собственные вектора и собственные числа и пересчитать параметр порядка с помощью уравнения согласования:

$$\Delta = \frac{1}{(2\pi)^2} \sum_n \iint_{BZ_1} d^2\mathbf{p} \{ u_{n\downarrow}(\mathbf{p})v_{n,\uparrow}^*(\mathbf{p})(1 - f_n(\mathbf{p})) + u_{n,\uparrow}(\mathbf{p})v_{n,\downarrow}^*(\mathbf{p})f_n(\mathbf{p}) \}. \quad (19)$$

Повторяя данную процедуру для нового значения параметра порядка и продолжая итерации до достижения заданной точности, получим самосогласованный параметр порядка. При этом итерационный процесс будет сходиться к одному из возможных решений. Как было выяснено в работе, итерационный процесс «притягивается» к устойчивым решениям (на которых реализуется минимум свободной энергии) и «отталкивается» от абсолютно неустойчивых (максимум свободной энергии).

В случае двух подрешёток ситуация усложняется несущественно: вместо двух функций $u_{n\sigma}(\mathbf{p})$, $v_{n,\sigma}(\mathbf{p})$ и одного параметра порядка Δ теперь нужно писать уравнения на четыре (по две на каждую подрешётку): $u_{n\sigma}^A(\mathbf{p})$, $v_{n,\sigma}^A(\mathbf{p})$, $u_{n\sigma}^B(\mathbf{p})$, $v_{n,\sigma}^B(\mathbf{p})$ и два параметра порядка Δ^A , Δ^B .

Объёмный сверхпроводник

Численным методом была получена зависимость параметра порядка от температуры $\Delta(T)$ при выборе параметров задачи $\lambda = -0.8, \mu = 0.5$ (такой выбор достаточно оптимален, поскольку необходимо чтобы Δ была достаточно мала, но в энергетический масштаб Δ помещалось достаточное число ($\gg 1$) состояний). См. [рисунок 2](#).

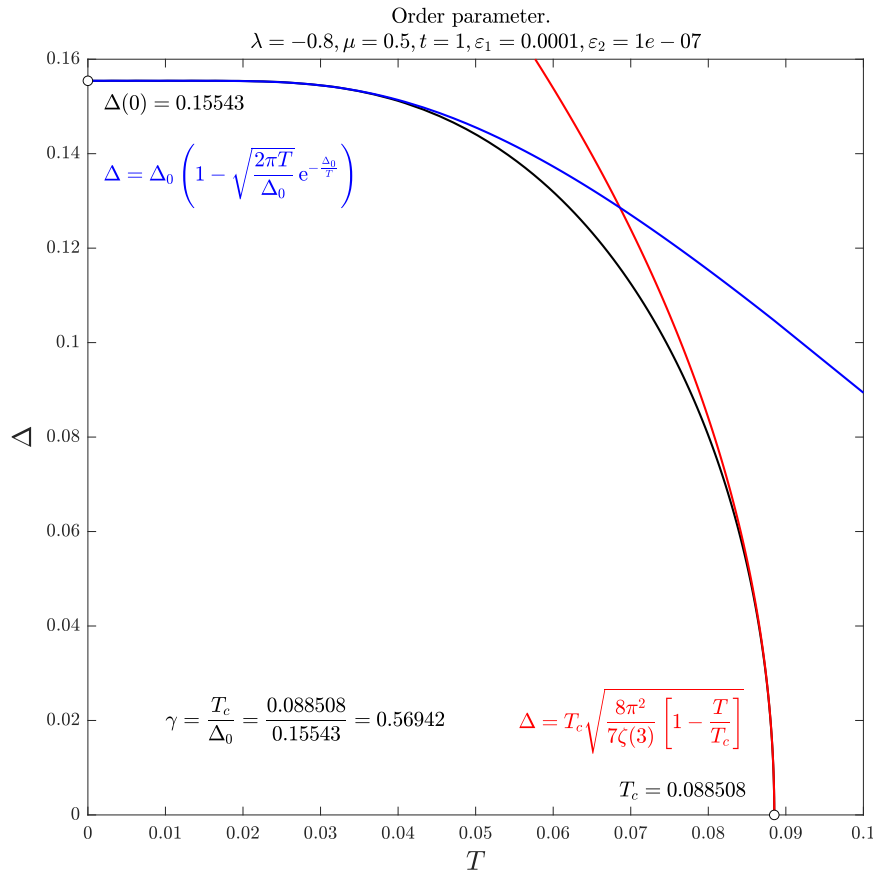


Рис. 2. Зависимость параметра порядка от температуры в случае объёмного сверхпроводника ($M = 0$).

По мере приближения к критической температуре сверхпроводимость постепенно ослабляется и разрушается. Полученная зависимость согласуется с известными аналитическими приближениями* в низкотемпературной области и в области вблизи критической температуры:

$$\Delta = \Delta_0 \left(1 - \sqrt{\frac{2\pi T}{\Delta_0}} e^{-\frac{\Delta_0}{T}} \right), \quad T \ll T_c \quad (20)$$

$$\Delta = T_c \sqrt{\frac{8\pi^2}{7\zeta(3)} \left[1 - \frac{T}{T_c} \right]}, \quad T \approx T_c \quad (21)$$

* См. [1] § 45.3: «Зависимость величины энергетической щели от температуры», [2] § 40: «Сверхтекучий ферми-газ. Термодинамические свойства.»

Ферромагнетик

Для однородно намагниченного ферромагнетика получены зависимости параметра порядка от величины обменного поля $\Delta(M)$ при различных значениях температуры T .

На [рисунке 3](#) видно, что кривые, соответствующие некоторым температурам, имеют области неоднозначности значения параметра порядка Δ . Это объясняется тем, что уравнению согласования удовлетворяют как устойчивые, так и абсолютно неустойчивые решения.

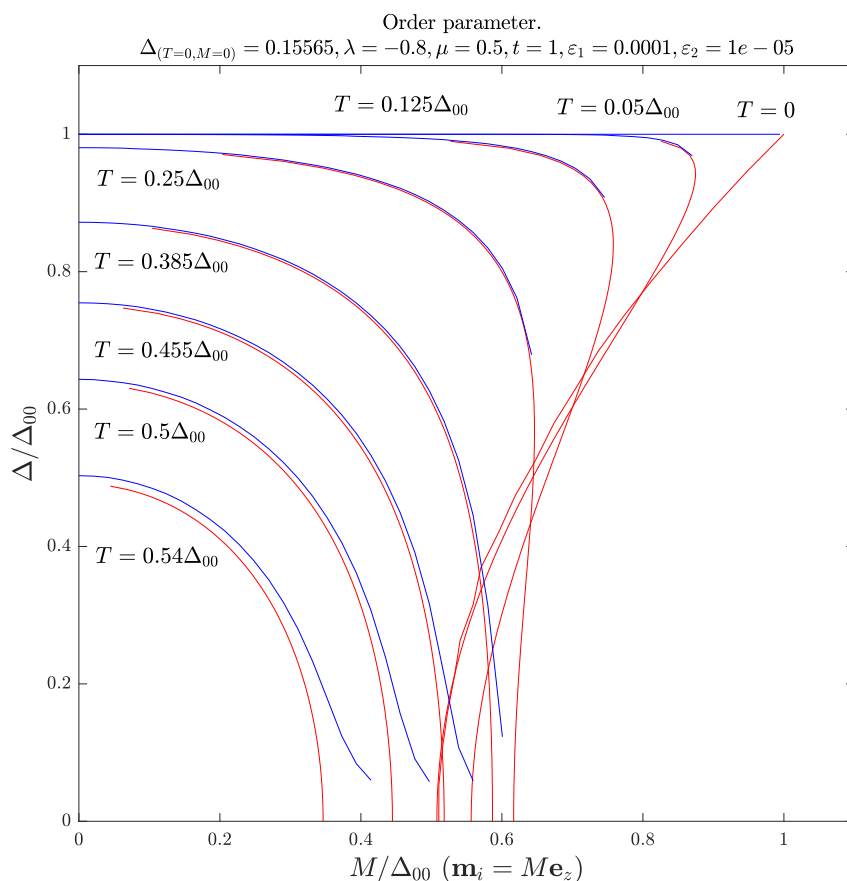


Рис. 3. Зависимость параметра порядка от обменного поля $\Delta(M)$ при различных значениях температуры T . Контакт с ферромагнетиком. Нормированный график.

Синим и **красным** обозначены две кривые, полученные разными методами: итерационный процесс самосогласования и бинарный поиск соответственно.

Кривые, изображенные **синей** линией, получены итерационным методом, обрываются в точке перегиба кривой, отвечают минимуму свободной энергии.

Красные кривые получены методом бинарного поиска, заключающегося в поиске точки пересечения $T(\Delta)$ искомой зависимости с прямой постоянного Δ , по обе стороны (в точках T_l и T_r) от которого изменения Δ за одну итерацию имеют разные знаки. Этот признак прямо указывает на то, что искомая температура $T(\Delta)$ заключена между двумя значениями температуры T_l и T_r при данном Δ . Этим методом можно найти как устойчивые, так и неустойчивые решения.

Полученный результат согласуется с работой [3][†].

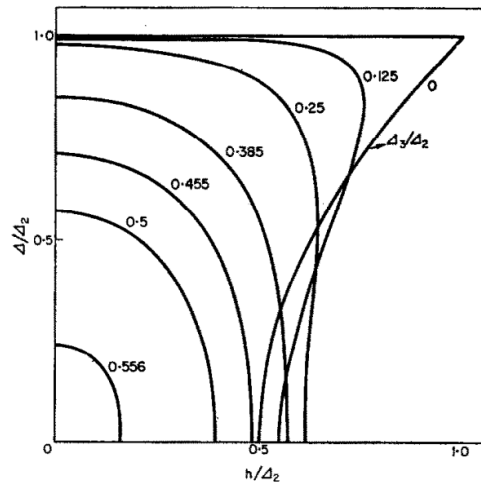


Рис. 4. Зависимость параметра порядка от обменного поля $\Delta(h)$ при различных значениях температуры T . Контакт с ферромагнетиком. Взято из работы [3].

Также были получены зависимости параметра порядка от температуры $\Delta(T)$ при различных значениях обменного поля M . См. [рисунок 5](#).

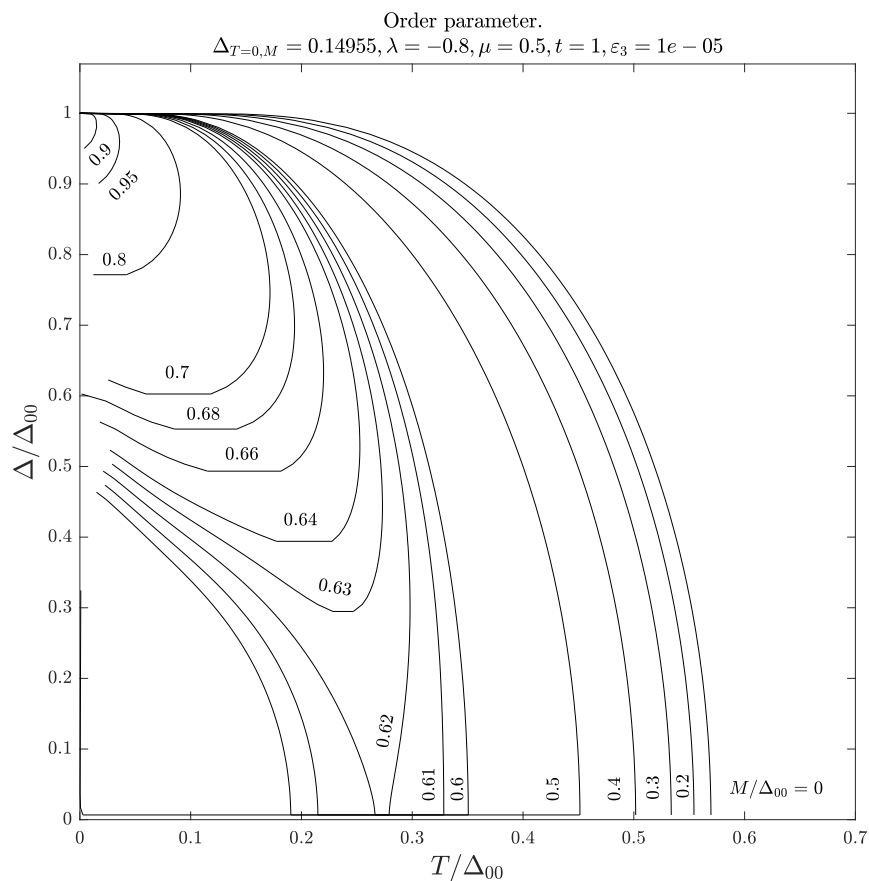


Рис. 5. Зависимость параметра порядка от температуры $\Delta(T)$ при различных значениях обменного поля M . Контакт с ферромагнетиком. Нормированный график.

[†] [3] G. Sarma, J. Phys. Chem. Solids **24**, 1029 (1963)

Произведён расчёт критической температуры T_c в зависимости от величины обменного поля M . На [рисунке 6](#) начиная с некоторого значения обменного поля наблюдается две ветви зависимости. **Синяя** ветвь отвечает значениям температуры, на которых обрываются устойчивые решения $\Delta(T)$, изображенные ранее на [рисунке 3](#). **Красная** ветвь отвечает значениям температуры, при которых параметр порядка обращается в ноль, на участке разветвления она отвечает неустойчивому решению.

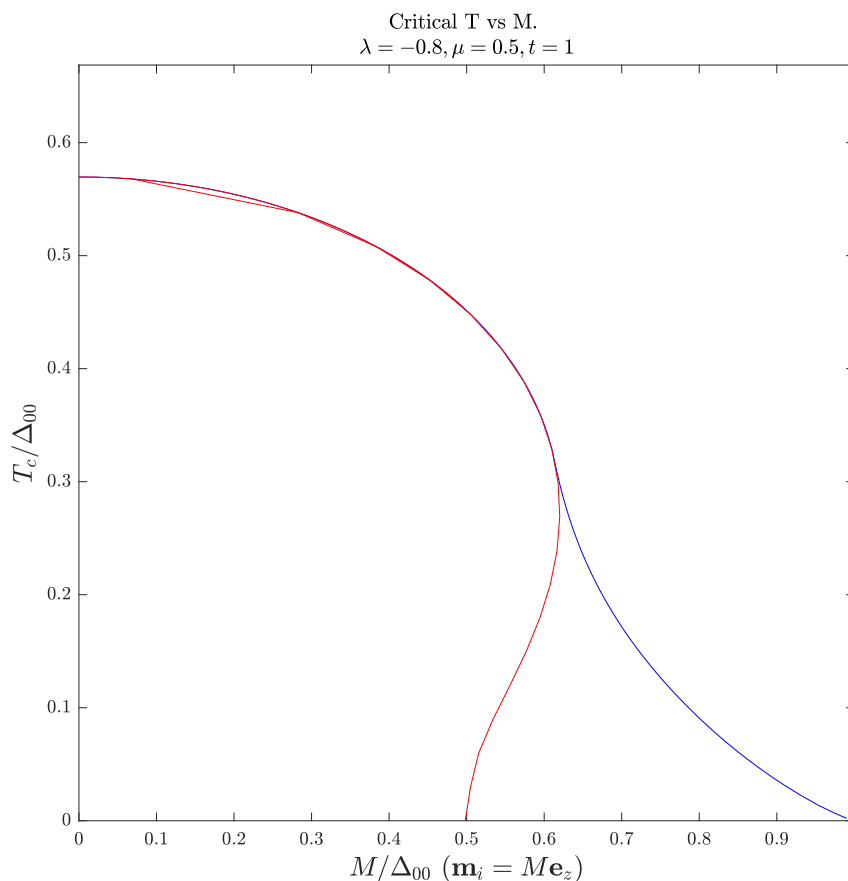


Рис. 6. Критическая температура T_c в зависимости от величины обменного поля M . Контакт с ферромагнетиком. Нормированный график.

Полученный результат согласуется с работой [3]‡. Однако автор привел более подробное рассмотрение и провел анализ энергий ферромагнитного и парамагнитного состояний, поэтому в качестве ветви II на [рисунке 7](#) изображена кривая, соответствующая энергетически более выгодному парамагнитному состоянию.

‡ [3] G. Sarma, J. Phys. Chem. Solids **24**, 1029 (1963)

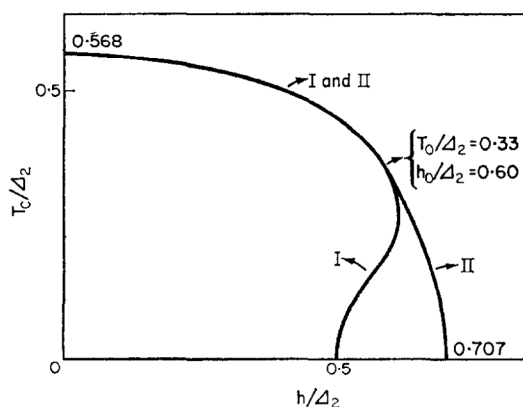


Рис. 7. Критическая температура T_c в зависимости от величины обменного поля h . Контакт с ферромагнетиком. Нормированный график. Взято из работы [3].

По формулам (11), (13) были рассчитаны аномальные функции Грина синглетных и триплетных корреляций как функции обменного поля. Синглетные корреляции, как и ожидалось, оказались пропорциональны параметру порядка (видно по характерному поведению на [рисунке 8](#)), единственная ненулевая z -компонента триплетных корреляций с увеличением величины обменного поля сначала растёт, потом падает до нуля одновременно с синглетным, поскольку источником для триплетных пар являются синглетные.

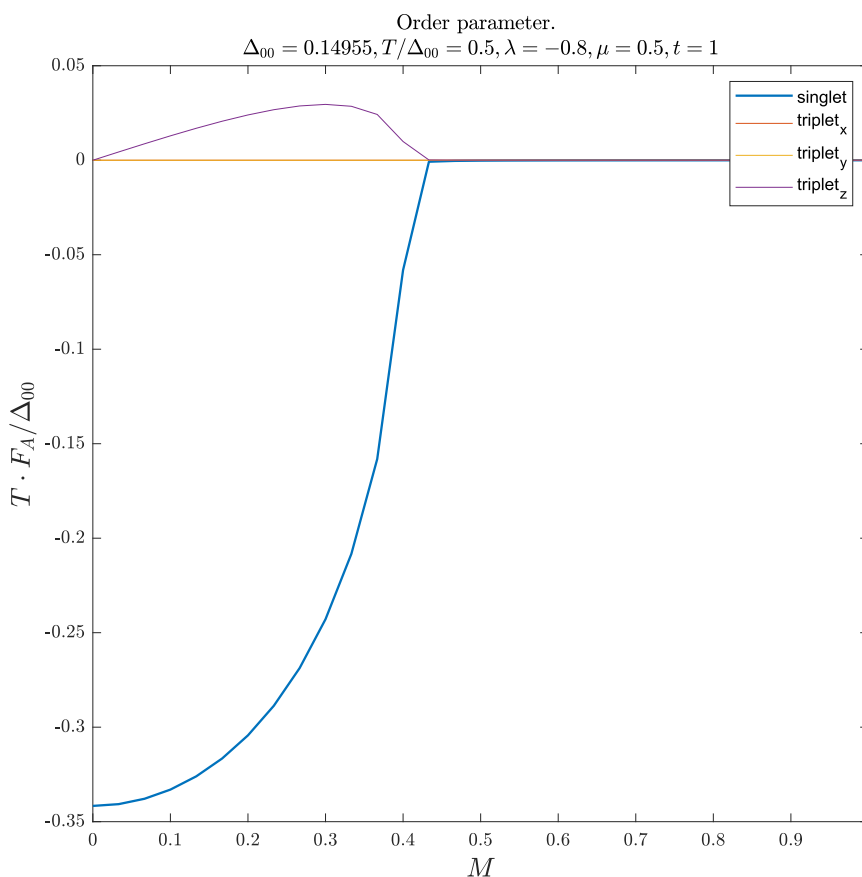


Рис. 8. Аномальные функции Грина для синглетных и триплетных корреляций как функции обменного поля. Нормированный график.

Антиферромагнетик и ферримagnetик

Критическая температура

Для антиферромагнетика обнаружено два режима сверхпроводимости при разных значениях химического потенциала. Различие режимов заключается в разном порядке подавления сверхпроводимости по сравнению с ферромагнетиком при тех же условиях. На [рисунке 9a](#) сверхпроводимость в контакте с антиферромагнетиком с увеличением обменного поля подавляется слабее, чем в контакте с ферромагнетиком. На [рисунке 9b](#) картина меняется: кривая для антиферромагнетика теперь находится по другую сторону от кривой для ферромагнетика.

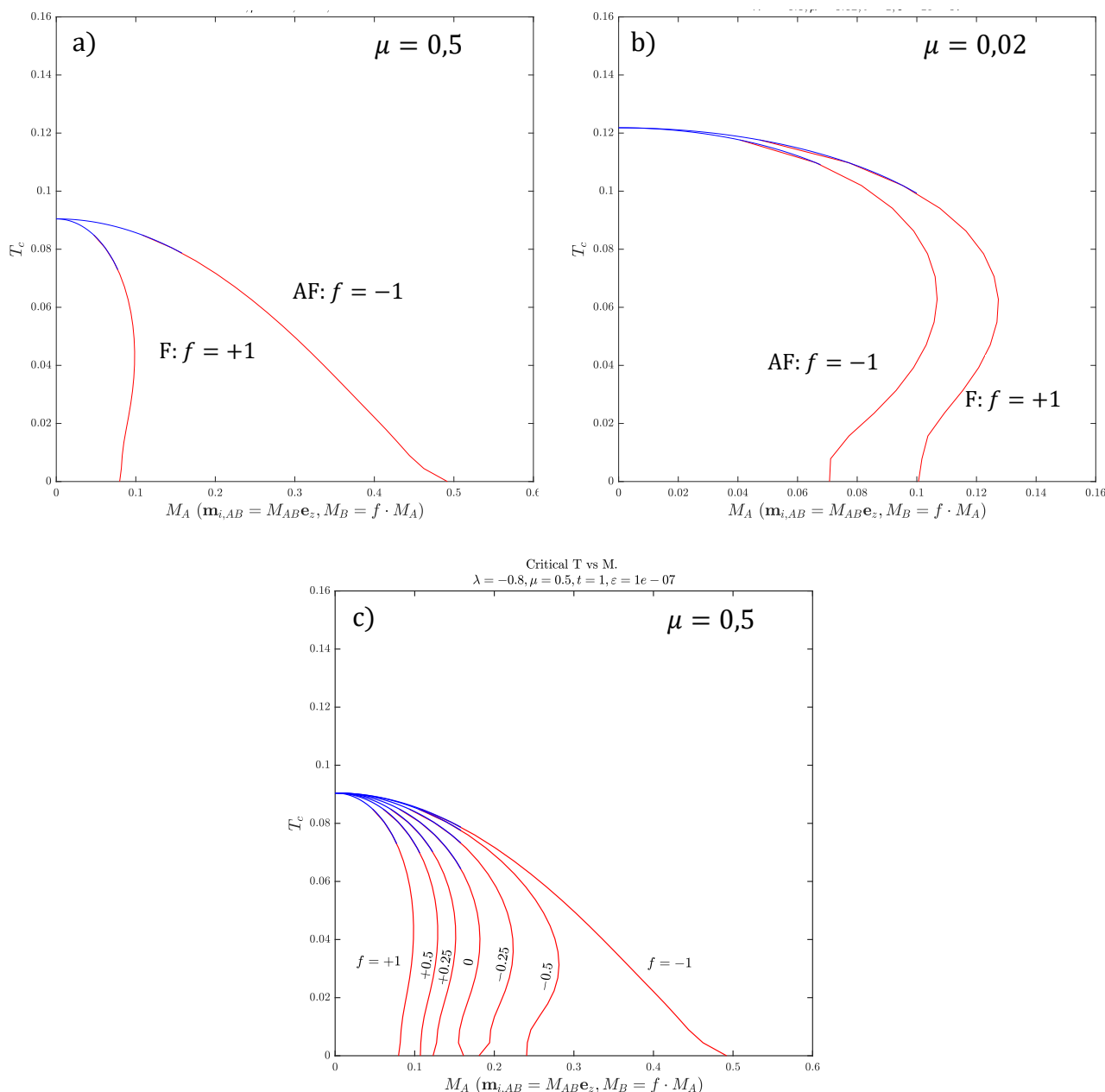


Рис. 9. Критическая температура T_c в зависимости от величины обменного поля M . Сравнение контакта сверхпроводник/ферромагнетик ($f = +1$) и сверхпроводник/антиферромагнетик ($f = -1$). Два режима при разных значениях химического потенциала. а) $\mu = 0,5$, б) $\mu = 0,02$, в) контакт сверхпроводник/ферримagnetик ($|f| < 1, \mu = 0,5$)

На [рисунке 9с](#) изображены кривые зависимости критической температуры от обменного поля для ферримагнетиков с различными степенями неэквивалентности решёток f .

На [рисунке 10](#) изображены кривые для ферримагнетика при разных значениях химического потенциала.

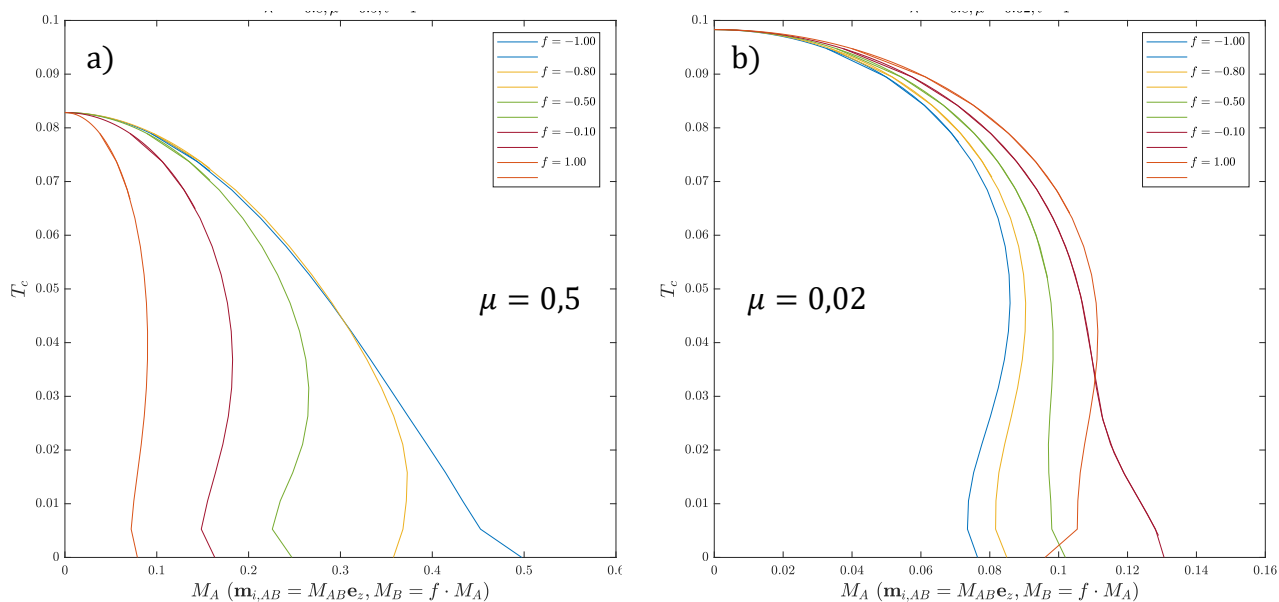


Рис. 10. Критическая температура T_c в зависимости от величины обменного поля M . Сравнение контактов сверхпроводник/ферромагнетик ($f = +1$), сверхпроводник/антиферромагнетик ($f = -1$) и сверхпроводник/ферримагнетик ($f > 0$). а) $\mu = 0,5$, б) $\mu = 0,02$.

Параметр порядка

Был рассчитан параметр порядка на двух подрешетках в зависимости от обменного поля на одной из подрешеток. На [рисунке 11а](#). видно, что увеличение по модулю степени неэквивалентности подрешеток $|f|$ сначала ведет к меньшему подавлению сверхпроводимости (то есть существованию сверхпроводимости при больших значениях M), но по достижении некоторого значения $f \approx -0.7$ увеличение $|f|$ приводит к обратному эффекту.

Для ферромагнетика был получен неравный на двух подрешетках («гофрированный») параметр порядка. Такое сверхпроводящее состояние не реализуется в случае эквивалентных подрешеток как с ферромагнитным, так и с антиферромагнитным типом магнитного упорядочения.

Исследована разность параметра порядка на подрешетках и её поведение в зависимости от соотношения намагниченности на подрешетках. Аналогичный немонотонный характер проявляет разность параметра порядка на подрешетках при изменении $|f|$. При $f \approx 0.4$ разность имеет максимальную амплитуду, а по приближении к $f = \pm 1$ спадает до нуля. См. [рисунок 11б](#).

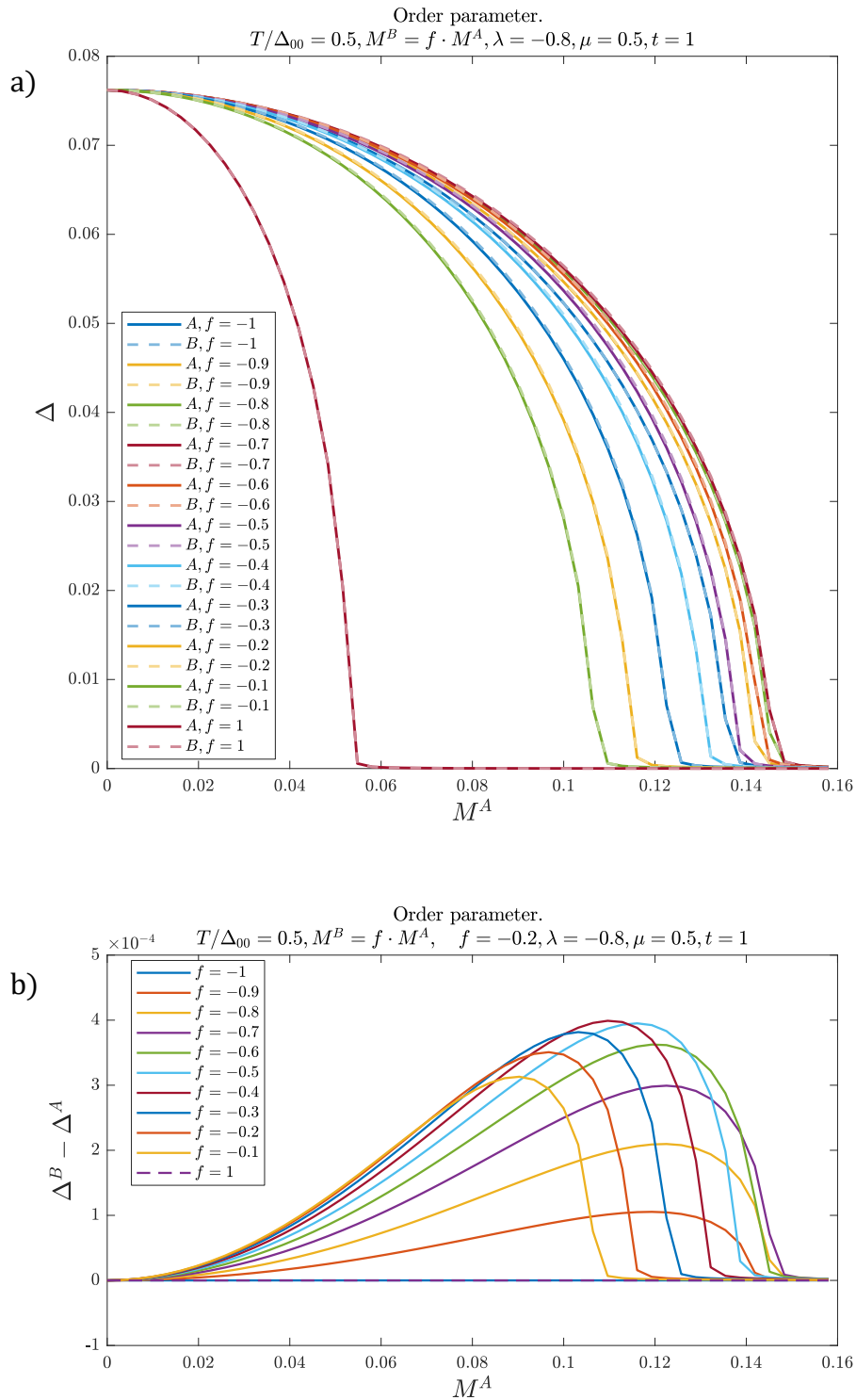


Рис. 11. Зависимость параметра порядка от величины обменного поля M . Сравнение контактов сверхпроводник/ферромагнетик ($f = +1$), сверхпроводник/антиферромагнетик ($f = -1$) и сверхпроводник/ферримагнетик ($f > 0$). $T/\Delta_{00} = 0.5$.

a) параметр порядка на двух подрешетках, б) разность значений параметра порядка на двух подрешетках.

Синглетные и триплетные корреляции

Также получены зависимости аномальных гриновских функций синглетных и триплетных корреляций от намагниченности для разных ферромагнетиков и проведено сравнение с ферро- и антиферромагнетиком.

Интересно соотношение между триплетными корреляциями разных подрешеток. Для ферромагнетика они тождественно равны, для антиферромагнетика равны по модулю и обратны по знаку, а для ферримагнетика могут принимать различные промежуточные значения (см. [рисунок 12](#) и [рисунок 13](#)).

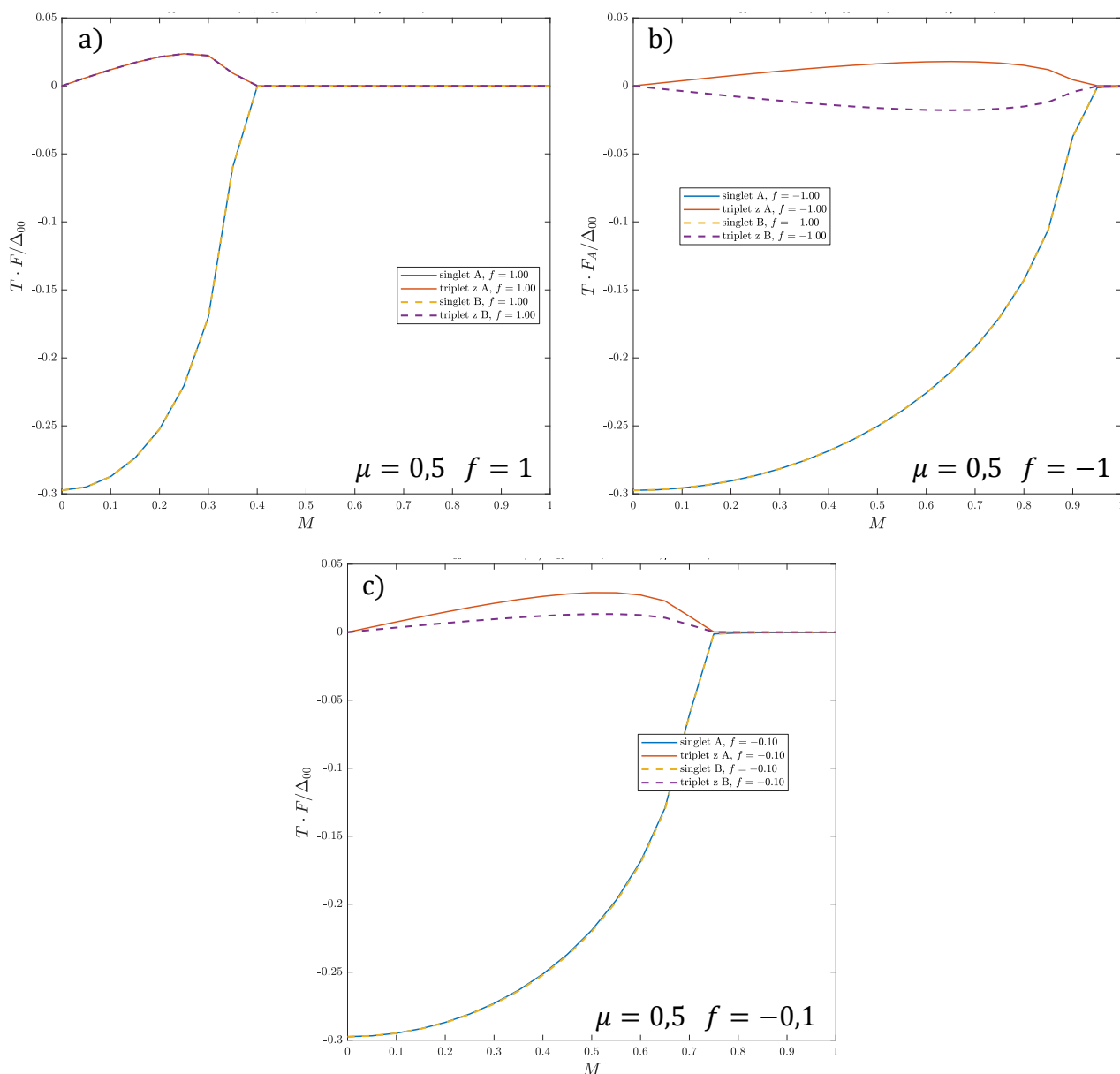


Рис. 12. Аномальные функции Грина для синглетных и триплетных корреляций как функции обменного поля M . $T/\Delta_{00} = 0,5$.

- а) сверхпроводник/ферромагнетик ($f = +1$),
- б) сверхпроводник/антиферромагнетик ($f = -1$),
- с) сверхпроводник/ферримагнетик ($f = -0,1$).

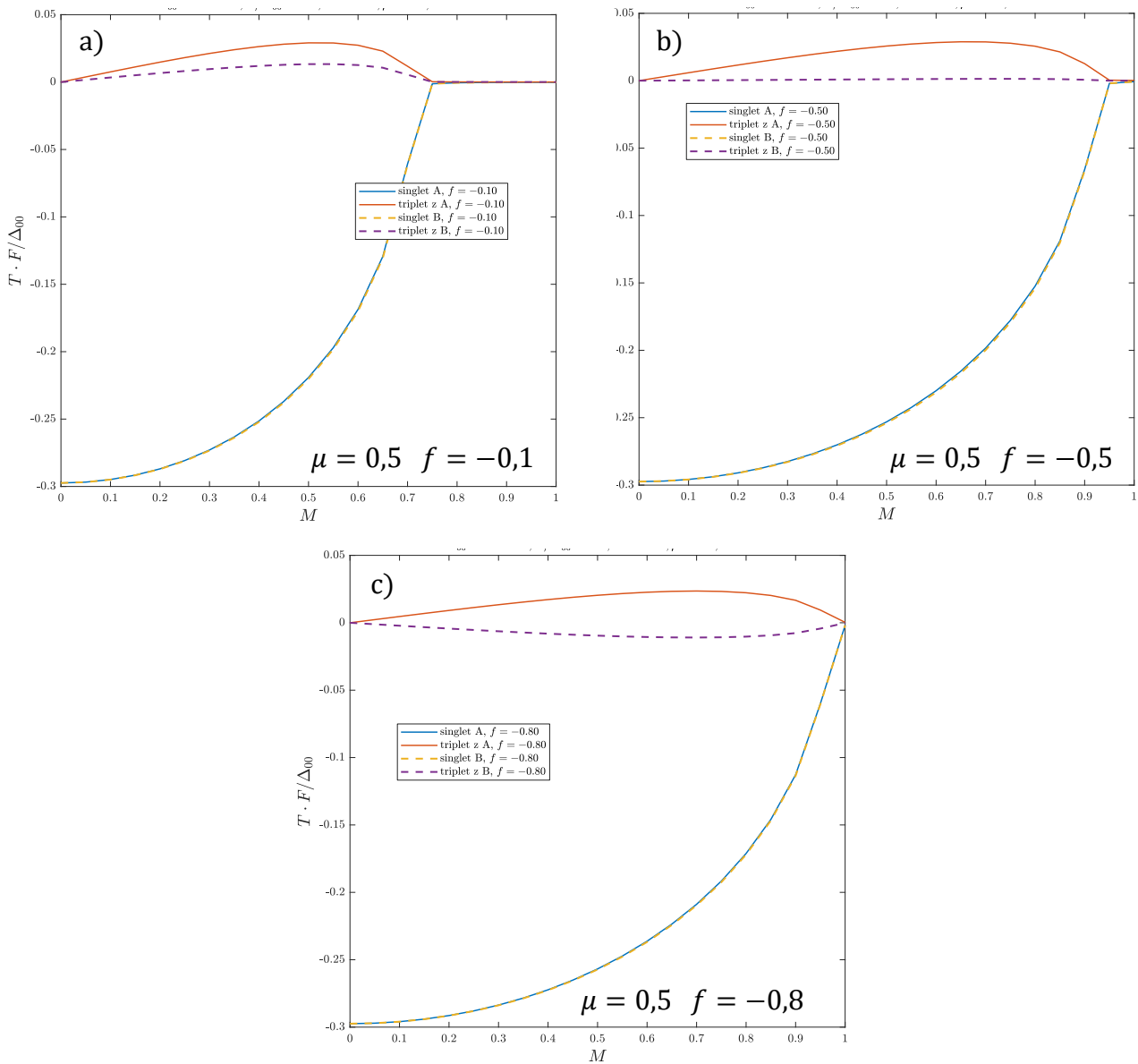


Рис. 13. Аномальные функции Грина для синглетных и триплетных корреляций как функции обменного поля M в контакте сверхпроводник/ферромагнетик. $T/\Delta_{00} = 0,5$.

a) $f = -0,1$, b) $f = -0,5$, c) $f = -0,8$.

Литература

- [1] В.В.Шмидт. «Введение в физику сверхпроводников»
- [2] Л.Д.Ландау, Е.М.Лифшиц, Л.П.Питаевский «Теоретическая физика. Том IX. Статистическая физика. Часть II. Теория конденсированного состояния»
- [3] G. Sarma, J. Phys. Chem. Solids **24**, 1029 (1963)
- [4] G. A. Bobkov, I. V. Bobkova, A. M. Bobkov, and Akashdeep Kamra, Phys. Rev. B **106**, 144512 (2022).